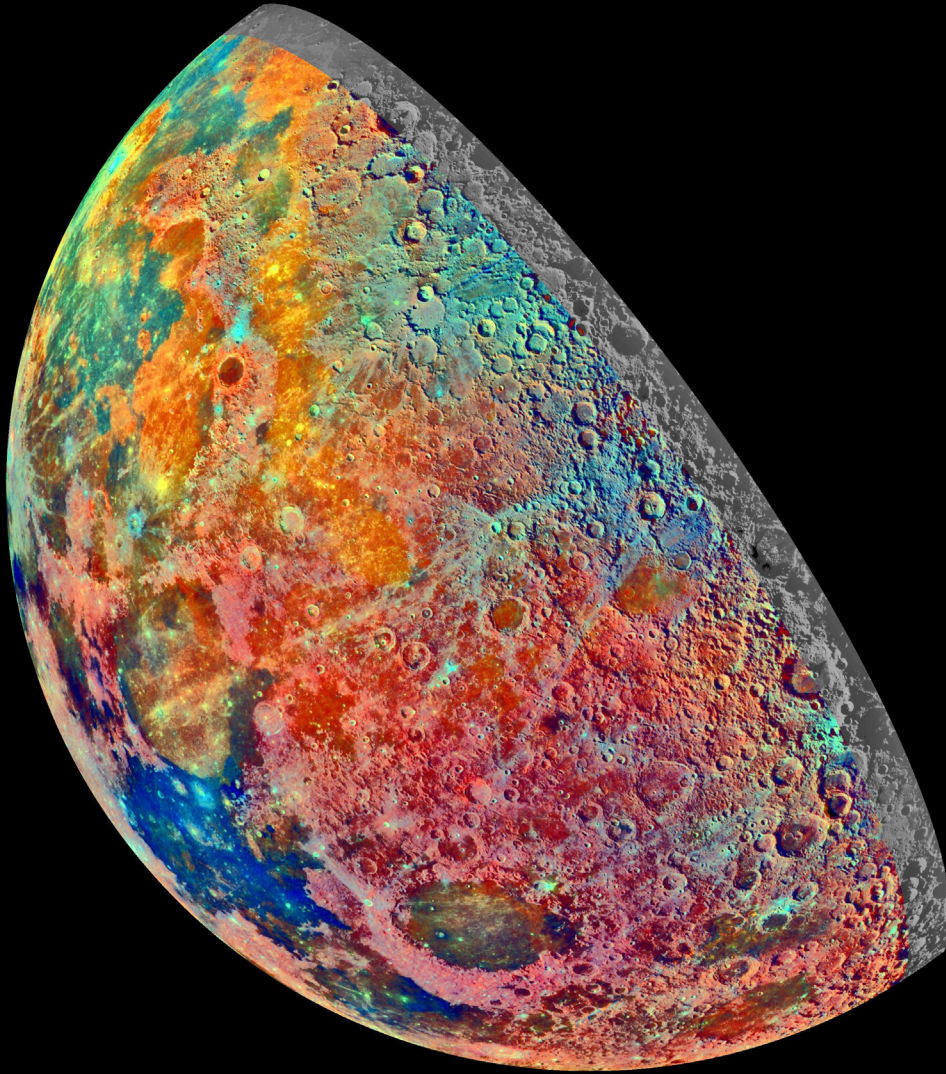


Gravity on Mars

The pull of gravity on Mars varies slightly from place to place. Denser underground materials give red and white areas higher gravity. Blue indicates areas of lower gravity.

Gravedad en Marte

La gravedad en Marte varía ligeramente de un lugar a otro. Los materiales subterráneos más densos proporcionan una mayor gravedad a las áreas en rojo y blanco. El azul señala las áreas de menor gravedad.



Mineral composition of the moon

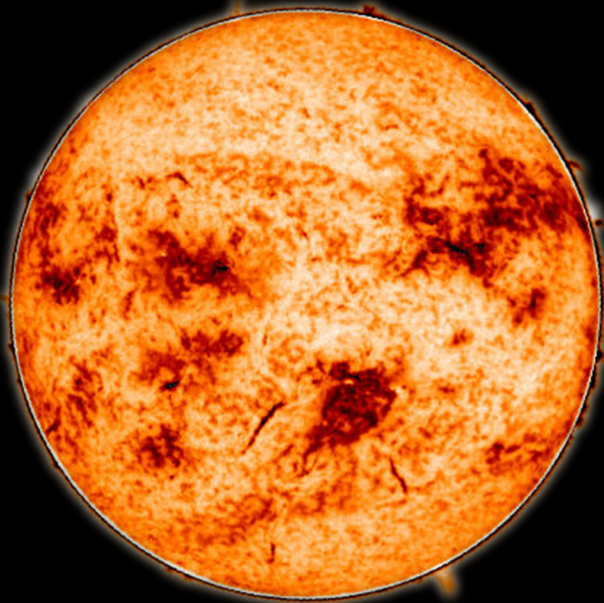
Representational color transforms the drab face of the Moon and reveals its composition. Colors indicate the presence of titanium, volcanic materials, and recent asteroid impacts.

Composición mineral de la Luna

Los colores representativos transforman la descolorida cara de la Luna y revelan su composición. Los colores indican la presencia de titanio y materiales volcánicos, y los recientes impactos causados por asteroides.

INFRARED LIGHT

Solar maximum

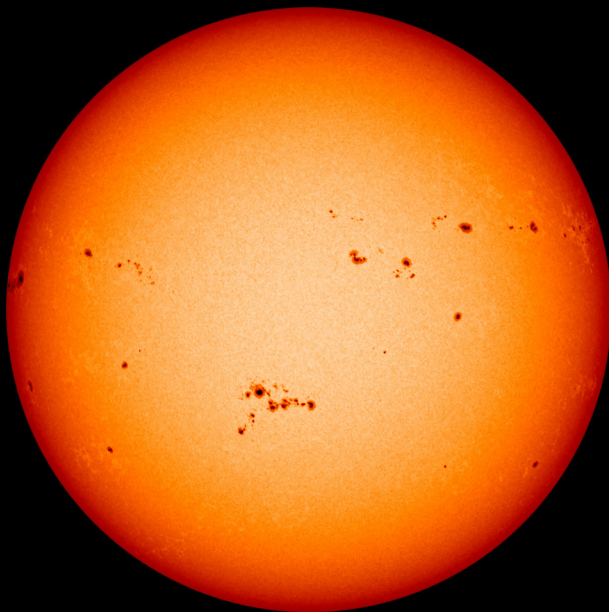


LUZ INFRARROJA

Máximo solar

VISIBLE LIGHT

Solar maximum

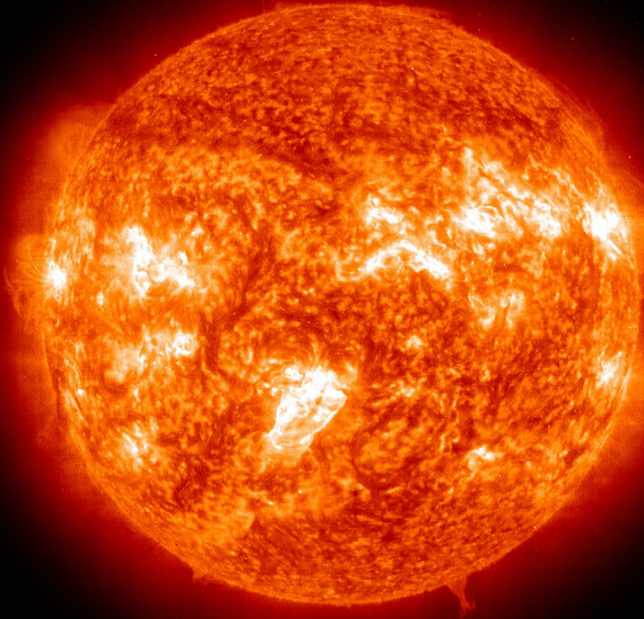


LUZ VISIBLE

Máximo solar

ULTRAVIOLET LIGHT

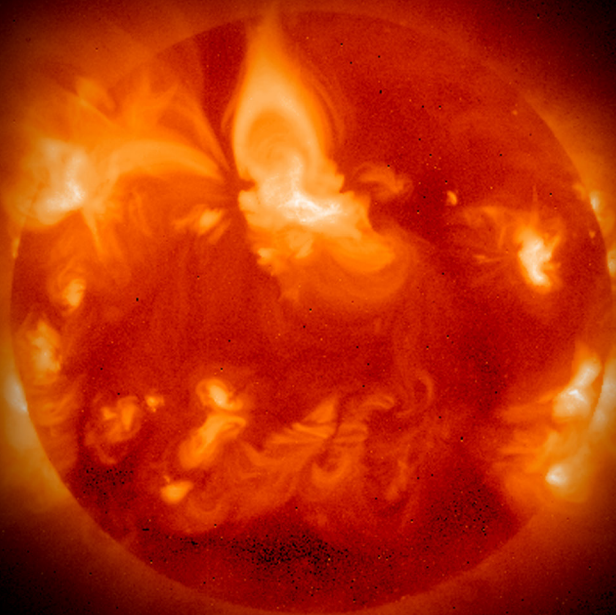
Solar maximum



LUZ ULTRAVIOLETA

Máximo solar

X-RAYS
Solar maximum



RAYOS X
Máximo solar

Infrared images show us a relatively cool layer of the Sun called the *chromosphere*. Matter in the Sun's atmosphere blocks some infrared light, causing the dark areas in this image.

Las **imágenes infrarrojas** nos muestran una capa relativamente fría del Sol llamada *cromosfera*. La materia en la atmósfera del Sol bloquea parte de la luz infrarroja, produciendo las áreas oscuras de la imagen.

Courtesy of the Mauna Loa Solar Observatory, operated by the High Altitude Observatory, as part of the National Center for Atmospheric Research (NCAR)
NCAR is supported by the National Science Foundation.

In **visible light** we can see cooler, darker areas of strong magnetism, called *sunspots*. Sunspots are much more abundant during solar maximum.

En la **luz visible**, nosotros podemos ver áreas más frías y oscuras de fuerte magnetismo, llamadas *manchas solares*. Las manchas solares son mucho más abundantes durante el máximo solar.

Courtesy SOHO, the EIT Consortium, and the MDI Team.

Ultraviolet light radiates from the *corona*—the very hot and energetic outermost layer of the Sun. We can observe coronal loops, flares and mass ejections in ultraviolet light.

La **luz ultravioleta** es irradiada desde la *corona*, la capa energética más caliente y externa del Sol. Podemos observar los bucles coronales, las erupciones y las eyecciones masivas en la luz ultravioleta.

Courtesy SOHO, the EIT Consortium, and the MDI Team.

X-rays are the most energetic of the Sun's emissions. Bright X-ray features usually indicate an active solar atmosphere.

Los **rayos X** son las emisiones más energéticas del Sol. Las características de los rayos X brillantes indican, por lo general, una atmósfera solar activa.

MAXIMUM: NASA, Yohkoh SXT instrument

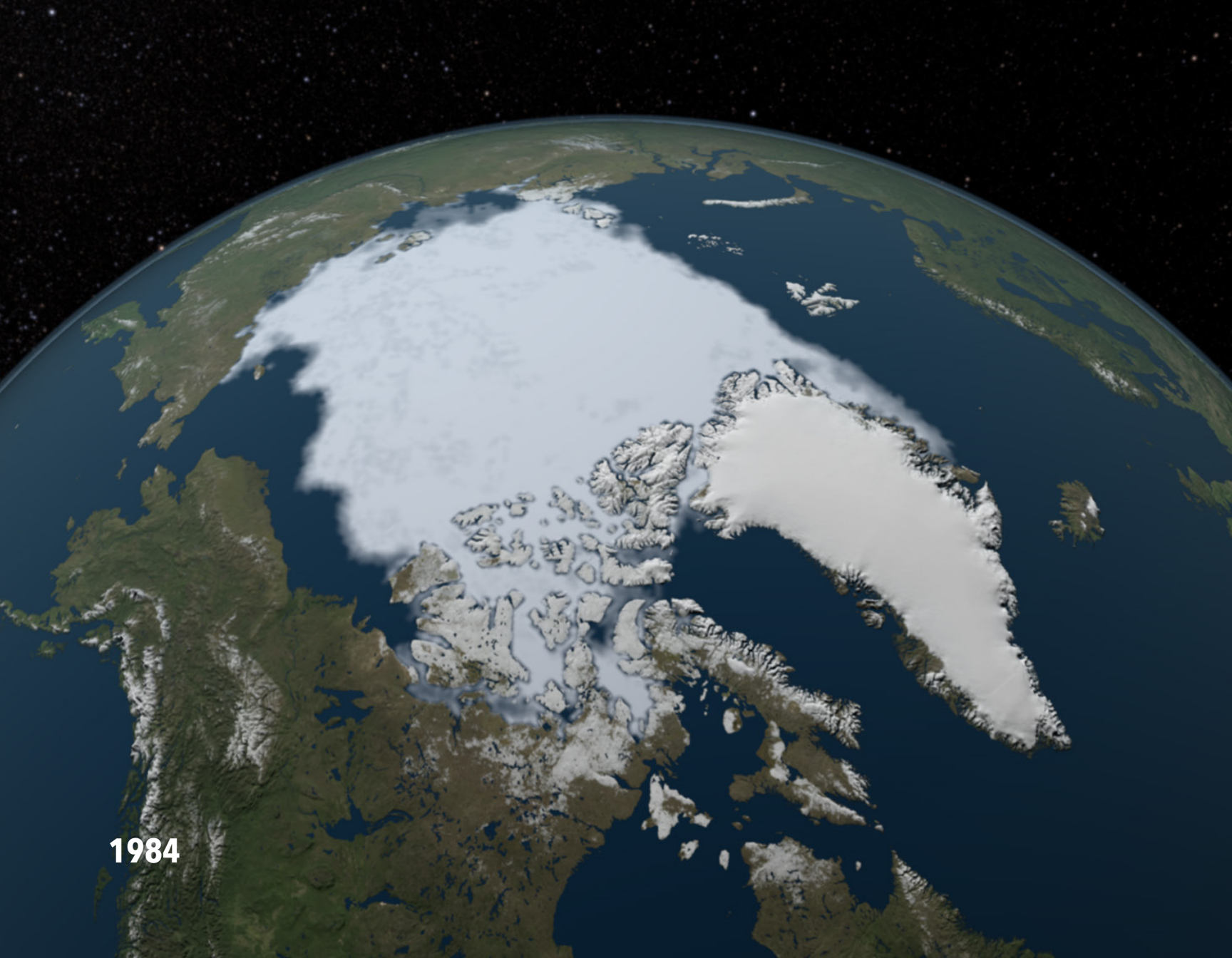
MINIMUM: NASA, Hinode X-ray instrument

2000





1984



1984



1987

Artificial Islands

Dubai, United Arab Emirates

The city of Dubai dredged sand from the seafloor to construct massive islands on the coast of the Persian Gulf. The smaller of these two palm tree-shaped islands is about 5 kilometers (3.1 miles) from top to bottom.

Islas artificiales

Dubái, Emiratos Árabes Unidos

La ciudad de Dubái dragó arena del fondo del mar para construir unas islas masivas en la costa del Golfo Pérsico. La más pequeña de estas dos islas en forma de palmera tiene 5 kilómetros (3.1 millas) de arriba abajo.

Images taken by the Enhanced Thematic Mapper Plus sensor onboard Landsat 7. Source: U.S. Geological Survey (USGS) Landsat Missions Gallery "Dubai's Islands," U.S. Department of the Interior / USGS and NASA.

Urban growth

Shanghai, China

In just 30 years, the population of Shanghai doubled, and the area covered by the city quadrupled.

Desarrollo urbano

Shanghái, China

En sólo 30 años, la población de Shanghái se ha duplicado, y el área cubierta por la ciudad se ha cuadruplicado.

Sea-ice coverage

Arctic Ocean

Sea ice grows and shrinks with the seasons, but long-term climate change is causing summertime ice coverage to decrease. At the current rate of decline, summer ice may disappear entirely within the century.

Cobertura de hielo marino

Océano Ártico

El hielo marino se agranda o se encoge durante las estaciones, pero el cambio climático a largo plazo está causando que la cobertura de hielo de la época de verano se reduzca. Al ritmo del descenso actual, es posible que el hielo de la época de verano desaparezca en el curso de este siglo.

Images by NASA Scientific Visualization Studio. Information sources: 2012: NASA Earth Observatory, 2013: NASA Earth Observatory, 2016: NASA Global Climate Change.

Open pit coal mines

Powder River Basin, Wyoming

Open-pit coal mines have transformed land that once was mostly agricultural. These two mines produced 22% of the US coal supply in 2014. Officials estimate that these mines will run out of recoverable coal by the 2030s.

Minas de carbón a cielo abierto

La cuenca del río Powder en Wyoming

Las minas de carbón a cielo abierto han transformado las tierras que una vez fueron en su mayor parte agrícolas. Estas dos minas produjeron el 22% del suministro de carbón de los EE.UU. en el 2014. Los funcionarios calculan que estas minas se quedarán sin carbón recuperable en los años 2030.

Images taken by the Thematic Mapper sensor onboard Landsat 5. Source: USGS Landsat Missions Gallery, "West Virginia Surface Mining," U.S. Department of the Interior / U.S. Geological Survey.